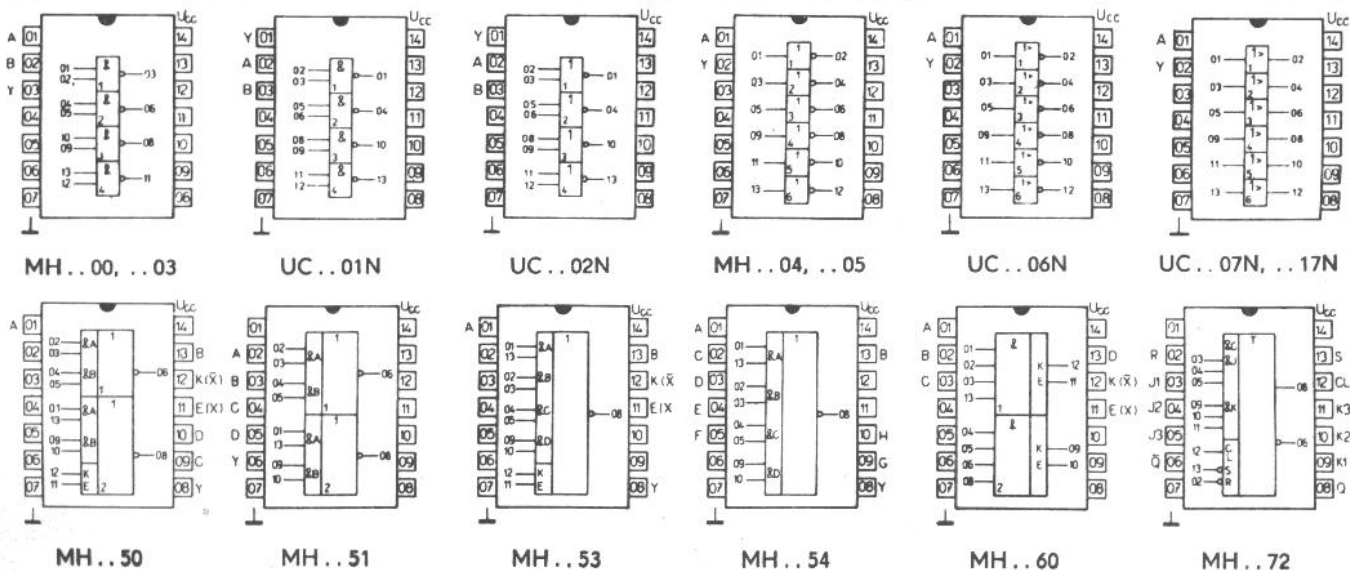


Typ	Označení	Logická funkce	Pouzdro		
MH7400 D100D	MH8400	MH5400	čtveřice dvoustupových pozitivních logických členů NAND	$Y = \overline{AB}$	IO 13 IO 13/1
UCY7401N 7401PC			čtveřice dvoustupových pozitivních logických členů NAND s otevřeným kolektorovým výstupem	$Y = \overline{AB}$	IO 13/U IO 13/T
UCY7402N			čtveřice dvoustupových pozitivních logických členů NOR	$Y = \overline{A + B}$	IO 13/U
MH7403 D103D	MH8403 E103D	MH5403	čtveřice dvoustupových pozitivních logických členů NAND s otevřeným kolektorovým výstupem	$Y = \overline{AB}$	IO 13 IO 13/1
MH7404	MH8404	MH5404	šestice invertorů	$Y = \overline{A}$	IO 13
MH7405	MH8405	MH5405	šestice invertorů s otevřeným výstupem	$Y = \overline{A}$	IO 13
UCY7406N			šestice pozitivních invertorů s vysokonapěťovým otevřeným kolektorovým výstupem	$Y = \overline{A}$	IO 13/U
UCY7407N			šestice pozitivních oddělovacích a budících stupňů s vysokonapěťovým otevřeným kolektorovým výstupem (30 V)	$Y = A$	IO 13/U
UCY7408N			čtveřice pozitivních dvoustupových logických členů AND	$Y = AB$	IO 13/U
MH7410 D110D	MH8410	MH5410	trojice třístupových pozitivních logických členů NAND	$Y = \overline{ABC}$	IO 13 IO 13/1
UCY7417N			šestice pozitivních oddělovacích a budících stupňů s otevřeným kolektorovým výstupem (15 V)	$Y = A$	IO 13/U
MH7420 D120D	MH8420	MH5420	dvojice čtyřstupových pozitivních logických členů NAND	$Y = \overline{ABCD}$	IO 13 IO 13/1
MH7430 D130D	MH8430	MH5430	osmivstupový pozitivní logický člen NAND	$Y = \overline{ABCDEFGH}$	IO 13
MH7437	MH8437	MH5437	čtveřice dvoustupových pozitivních výkonových logických členů NAND	$Y = \overline{AB}$	IO 13 IO 13/1
MH7438	MH8438	MH5438	čtveřice dvoustupových pozitivních výkonových logických členů NAND s otevřeným kolektorovým výstupem	$Y = \overline{AB}$	IO 13
MH7440 D140D	MH8440 E140D	MH5440	dvojice čtyřstupových pozitivních výkonových logických členů NAND	$Y = \overline{ABCD}$	IO 13 IO 13/1



CHARAKTERISTICKÉ HODNOTY LOGICKÝCH ČLENŮ A INVERTORŮ

Sumová imunita		1	V
Logický zisk	N	10	
MH7440, MH8440, MH5440	N	30	
Průměrný ztrátový výkon na 1 logický člen	P	10	mW
MH7440, MH8440, MH5440	P	25	mW
Vstupní napětí úroveň H, které nutno přivést na všechny vstupy, aby byla na výstupu úroveň L	U_{IH}	min. 2	V
Vstupní napětí úroveň L, které je nutno přivést na jeden ze vstupů, aby byla na výstupu úroveň H	U_{IL}	max. 0,8	V
Výstupní napětí – úroveň H	U_{OH}	min. 2,4	V
Výstupní napětí – úroveň L	U_{OL}	max. 0,4	V
Vstupní proud úroveň L (každý vstup)	$-I_{IL}$	max. 1,6	mA
Vstupní proud úroveň H (každý vstup)			
$U_{IH} = 2,4$ V	I_{IH}	max. 40	μ A
$U_{IH} = 5,5$ V	I_{IH}	max. 1	mA
Výstupní proud zkratový	I_{OS}	18 ... 55	mA
MH ... 40, MH ... 37	I_{OS}	18 ... 70	mA
Spotřeba úroveň L (každý logický člen)	I_{CCL}	3	<3,7
MH ... 37, MH ... 38, MH ... 40	I_{CCL}		<13,5
*MH ... 03, UC ... 01N	I_{CCL}		<22
UC ... 02N	I_{CCL}		<27
MH ... 04, MH ... 05	I_{CCL}		<5,5
*UC ... 06N	I_{CCL}		<51
*UC ... 07N	I_{CCL}		<30
*UC ... 08N	I_{CCL}		<33
MH ... 50, MH ... 51	I_{CCL}	3	<7
MH ... 53, MH ... 54	I_{CCL}	5,1	<9,5
MH ... 60	I_{CCL}	1,2	<2,5
Spotřeba úroveň H (každý logický člen)	I_{CCH}	1	<2
*UC ... 02N	I_{CCH}		<16
*UC ... 06N	I_{CCH}		<48
*UC ... 07N	I_{CCH}		<41
*UC ... 08N	I_{CCH}		<21
MH ... 37, MH ... 40, MH ... 50, MH ... 51	I_{CCH}	2	<4
MH ... 53, MH ... 54, MH ... 03, UC ... 01N	I_{CCH}	4	<8
MH ... 38	I_{CCH}		<2,1

Poznámka

Hodnoty platí v celém rozsahu pracovních teplot a za nejhorsích pracovních podmínek při pracovním napětí v doporučeném rozsahu.

*) Celkový odběr ze zdroje.

MH7472, MH8472, MH5472

CHARAKTERISTICKÉ HODNOTY KLOPNÝCH OBVODŮ J – K:

Maximální logický zisk z každého výstupu	N	1 – 10	
Šířka hodinového impulsu	$t_w (CL)$	≥ 20	ns
Šířka nastavovacího impulsu	$t_w (S)$	≥ 25	ns
Šířka nulovacího impulsu	$t_w (R)$	≥ 25	ns
Vstupní předstih	t_{setup}	\geq šířka přiloženého hodinového impulsu	
Vstupní přesah	t_{hold}	≥ 0	

Hodnoty úrovní H, L a vstupních proudů jsou stejné jako u hradel.

MH7474, MH8474, MH5474

CHARAKTERISTICKÉ HODNOTY KLOPNÉHO OBVODU D:

Maximální logický zisk	N	10	
Šířka hodinového impulsu	$t_w (CH)$	30	ns
Šířka nastavovacího impulsu	$t_w (S)$	30	ns
Šířka nulovacího impulsu	$t_w (R)$	30	ns
Opakovací kmitočet hodinových impulsů	f_{CH}	$25 > 15$	MHz
Doba předstihu	t_{setup}	$15 < 20$	ns
Doba přesahu	t_{hold}	$2 < 5$	ns

Hodnoty úrovní H, L a vstupních proudů jsou stejné jako u hradel.

FUNKČNÍ TABULKA

MH7472, MH8472, MH5472
UCY7473N

	t_n	$t_n + 1$
J	K	Q
L	L	Q_n
L	H	L
H	L	H
H	H	$\overline{Q_n}$

MH7474, MH8474, MH5474

	t_n	$t_n + 1$
D	Q	\overline{Q}
L	L	H
H	H	L

Poznámky:

- $J = J_1 \cdot J_2 \cdot J_3$
- $K = K_1 \cdot K_2 \cdot K_3$
- t_n – časový okamžik před příchodem hodinového impulsu.
- $t_n + 1$ – časový okamžik po skončení hodinového impulsu.
- Q_n – stav na výstupu Q v čase t_n